

基于 MVB 总线的动车组门控系统的设计与仿真研究

张永美, 唐明新, 刘洋

(辽宁省大连交通大学研究生学院, 辽宁大连 116028)

摘要: 多功能车辆总线(MVB)是列车通信网络标准中明确定义的通信协议, 用于车辆内部各功能设备间的信息传输, 介绍了动车组门控设备与 MVB 的通信方式和拓扑结构, 提出了基于 LabVIEW 和 SimuLink 混合编程的门控系统设计方案, 并对该系统的主要功能, 技术特点, 软件实现和上位机监控界面的设计方案等方面进行了简单阐述。

关键词: MVB; 动车组; 门控系统

Abstract: The multifunction vehicle bus (MVB) is a kind of communication protocol which is defined explicitly in the train communication network standard, and it is used to transfer information among devices inside vehicles. It introduces the MVB communication mode and the topologic structure used for this type door controller, designs the software scheme based on the hybrid programming of LabVIEW and MATLAB. The aspects such as the main function, technology characteristic, software implementing and the design of PC contact monitoring surface are expatiated.

Key words: Multifunction Vehicle Bus(MVB); China Railway High-speed; Door controller

中图分类号: U266.1

文献标识码: A

文章编号: 1671-8089(2009)08-0104-02

2007年4月, 我国铁路开始了第六次大面积提速, 这次大提速的鲜明特点是投入了大量的新技术装备, 其中特别引人注目的是一批具有世界先进水平的高速动车组。动车组在我国的迅速发展对我国当前水平较低的传统列车控制技术提出了挑战, 应用的需要使得发展我国自己的列车控制网络成为当务之急。目前在动车组门控系统中最先进的技术是西门子的多功能总线 MVB (Multifunction Vehicle Bus) 技术, 此项技术在轨道车辆控制系统中形成了垄断地位, 为了不受制于国外公司, 必须尽快拥有自己的技术, 将门控系统通过 MVB 进行“无缝”链接, 开发和生产国产化高档高速列车自动门, 可以大幅度降低轨道交通装备造价, 推动动车组装备国产化进程。本文介绍的是一套符合 IEC61375 协议要求、基于 MVB 总线的门控系统。文章阐述了网络系统的拓扑结构以及其门控系统的软件实现等内容。

一、MVB 网络介绍

车辆级总线 MVB 由以下节点组成: 中央控制单元(CCU), 传动控制单元(DCU)1、2, 智能显示单元(IDU), 信号采集单元(SCU)1、2, 机车监控装置(TAX2)。网络拓扑结构如图 1 所示^[1]。

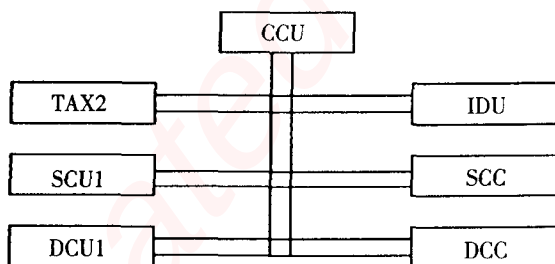


图 1 MVB 网络拓扑结构

机车网络上的每个功能节点的作用各不相同, 传动控制单元主要负责对转向架的传动控制; 信号采集单元主要进行数字量、模拟量信号的采集及逻辑运算; 智能显示单元进行机车状态的显示、机车故障信息的显示与诊断以及一些机车参数的设置; 机车监控装置负责进行机车状态的监控。而中央控制单元作为 MVB 网络上的一个重要单元, 主要执行以下功能:

- 1、车辆总线 MVB 通讯的监测与管理;
- 2、与其它设备进行 MVB 通讯及 I/O 采集;
- 3、状态数据、故障数据的采集处理及记录;
- 4、牵引、制动特性控制;
- 5、辅助功能: 欠压保护、主变压器油温保护、自动过分相控制及轮径补偿计算。

二、门控系统简介

MVB 是一种主从方式的串行通讯总线, 是为快速的过程控制优化的总线, 能提供最佳的响应速度, 适合用作车辆总线。门控器装置是 MVB 网络上的一个重要组成部分, 它与轨道车辆控制系统配合使用, 完成列车门的开门、关门、运行状态实时显示、故障信息的提示等功能。门控器与车辆控制系统之间的通信通过 MVB 总线来实现。每个门控器在网络上都有一个唯一地址, 车辆控制系统能辨别每个门控器地址, 并从门控器处获取信息。门控器根据列车控制信号(开门列车线、关门列车线、零速列车线)及门驱动机构上各种元件传递的信号来控制车门的动作, 其控制结构如图 1。

MVB 负责车辆内的通讯, 是子系统互相连接的接口。轨道车辆门控器的工作状态由车辆的运行状态决定, 每节车的门控器都与 MVB 车辆总线的物理层相连, 进行信息交换, 将门控器的状态

作者简介: 张永美(1983 年—), 女, 山东潍坊人, 2007 年 9 月入读大连交通大学, 大连交通大学轨道交通研究院在读研究生。

唐明新, 男, 大连交通大学教授。

报告给轨道车辆控制系统。MVB 可传送门的不同状态信息(如“紧急装置被操作”)和诊断信息(如“门位置传感器故障”)^[2]。

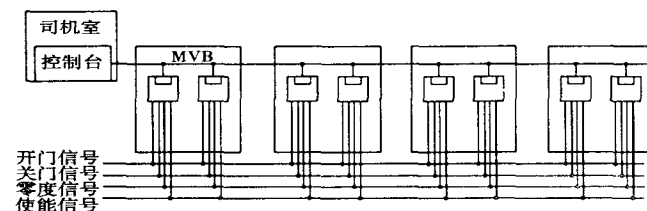


图 2 具有 MVB 接口的门控系统

三、门控系统的软件设计

1. labview 与 Matlab 混合编程简介及总体仿真方案。在混合编程中通常用 LabVIEW 设计用户图形界面,负责数据采集和网络通信,MATLAB 在后台提供大型算法供 LabVIEW 调用。本设计使用 LabVIEW Simulation Interface Toolkit。

将 MathWorks 公司的 MATLAB/Simulink 软件与 LabVIEW 进行无缝的集成。LabVIEW Simulation Interface Toolkit 可以自动地产生与 Simulink 模型接口的 LabVIEW 代码。利用 LabVIEW Simulation Interface Toolkit 将 LabVIEW 与 MATLAB/Simulink 软件集成将具备快速构建非常好的可视性、人机界面逼真度高的仿真系统能力^[3]。

由于列车上的设备具有分散地特点,各个设备是分散在各个编组的机车车辆中,要使分布于列车中各车辆的设备协调工作,就必须借助于一个分布式的计算机控制系统,即列车通信网络来实现。据此本设计的设计思路如下:我们将两台 PC 机分别模拟为 Labview 局域网通信中的客户机和服务器,其中,PC 机 1 作为客户端,利用 Labview 软件设计监控界面,模拟列车上门控制单元 DOOR 的运行和故障状态,并利用 Labview 的 TCP/IP 节点将各个状态信号打包通过以太网发送给 PC 机 2;PC 机 2 作为服务器端,被模拟成中央控制单元(CCU)负责接收门控器的信息,对接受到的信号进行解析,并通过仿真接口工具包 SIT 与 Matlab/Simulink 控制仿真模型进行数据交互,完成对各个设备的运行控制和故障诊断,并将仿真结果发送给各监控界面进行显示。根据以上思路,我们提出了如图 3 所示的设计方案。

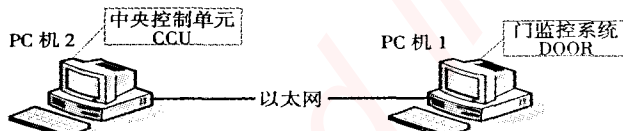


图 3 门控系统网络控制平台总体架构

2. MATLAB 仿真模块建立及上位机监控界面设计。本设计包括 MATLAB 仿真总体模块及其子模块,总体模块接收来自司机控制台、中央控制单元 CCU 和各个门的输入信号,完成对 Door 系统的控制、故障诊断和状态诊断,并将结果输出给各个监控界

面进行显示。子模块包括门集中打开模块,速度标志模块,脚踏板控制模块,司机门控制及状态诊断模块和车厢门控制及诊断状态模块。中央控制单元根据当前的列车运行的速度向门控系统发送速度信号,只有当列车速度小于某一个值时,输出为“1”,此时车上的门才可以被操作。

为了使仿真过程更直观、生动,需要在 LabVIEW 环境下创建 LabVIEW 图形化的仿真用户界面。本设计的人机界面包含两级,一级界面包括一个主界面,用于显示每节车厢中门的总体状态,包括门集中打开、高站台和门状态信息,通过该界面上的界面切换按钮可以进入各个车 1、2、3、4 号门的二级界面。二级界面包括十六个子界面。前半列车共有四节车厢,每节车厢分别有 1、2、3、4 号门。每个子界面对应一个门,用来发送门打开、锁定、隔离命令,同时模拟门的运行状态和故障状态。主监控界面如下图所示:

门控系统主监控界面				
	M2左	M2S左	TP左	M2右
	M2右	M2S右	TP右	M2右
速度小于5km/h	●	●	●	●
高站台标志	●	●	●	●
门状态标志	M2 ● ● TP ● M2 ●	进入M2车1号门界面 进入M2车2号门界面 进入M2车3号门界面 进入M2车4号门界面 进入M2S车1号门界面 进入M2S车2号门界面 进入M2S车3号门界面 进入M2S车4号门界面 进入TP车1号门界面 进入TP车2号门界面 进入TP车3号门界面 进入TP车4号门界面 进入M2车1号门界面 进入M2车2号门界面 进入M2车3号门界面 进入M2车4号门界面	进入M2车1号门界面 进入M2车2号门界面 进入M2车3号门界面 进入M2车4号门界面 进入M2S车1号门界面 进入M2S车2号门界面 进入M2S车3号门界面 进入M2S车4号门界面 进入TP车1号门界面 进入TP车2号门界面 进入TP车3号门界面 进入TP车4号门界面 进入M2车1号门界面 进入M2车2号门界面 进入M2车3号门界面 进入M2车4号门界面	进入M2车1号门界面 进入M2车2号门界面 进入M2车3号门界面 进入M2车4号门界面 进入M2S车1号门界面 进入M2S车2号门界面 进入M2S车3号门界面 进入M2S车4号门界面 进入TP车1号门界面 进入TP车2号门界面 进入TP车3号门界面 进入TP车4号门界面 进入M2车1号门界面 进入M2车2号门界面 进入M2车3号门界面 进入M2车4号门界面

四、结束语

1. 使用 LabVIEW Simulation Interface Toolkit 与 MATLAB/Simulink 结合实现过程控制仿真,有很好的可视性、人机界面逼真度高,而且构建仿真系统操作简便、快速。

2. 目前基于 MVB 门控器在动车组控制系统中的应用是一种发展趋势,通过本文设计的小型网络控制平台,可以在实验室中模拟实际列车的运行和故障的诊断,为我校动车组网络控制的研究和列车网络技术的应用、改进奠定了基础,本文的研究工作对于进一步自主开发新一代的门控装置具有一定的现实意义和应用价值。

参考文献:

- [1] IEC 61375-1:1999,铁道电气设备—列车总线第 1 部分:列车通信网络[S].国际电工委员会,1999
- [2] 刘启新,张丽华,赵伟军.基于 MVB 轨道车辆门控器的设计.中国制造业信息化,2007
- [3] 向学军,杨盛,刘平.两种 LabVIEW、MATLAB 结合的控制系数字仿真方法比较,2006;(5)

(上接第 101 页)通过适当增加夹送辊的超前系数及电流限幅,达到增加夹送辊辊径处的线速以消除张力的效果。当然这又可能造成吐丝图形的变化甚至恶化,所以调整时我们一定要找到一个平衡点。对于现场生产来讲,最重要的首先是不要堆钢,这一点尤

其适用于试轧阶段,因此试轧时可适当把夹送辊的超前系数及电流限幅设大点,保证夹送辊夹送时与 RSM 间的微张力,再根据吐丝图形的实际情况作些微调。对于大规格产品,一般来讲图形比较稳定,调整方法在此就不再赘述。

嵌入式资源免费下载

总线协议：

1. [基于 PCIe 驱动程序的数据传输卡 DMA 传输](#)
2. [基于 PCIe 总线协议的设备驱动开发](#)
3. [CANopen 协议介绍](#)
4. [基于 PXI 总线 RS422 数据通信卡 WDM 驱动程序设计](#)
5. [FPGA 实现 PCIe 总线 DMA 设计](#)
6. [PCI Express 协议实现与验证](#)
7. [VPX 总线技术及其实现](#)
8. [基于 Xilinx FPGA 的 PCIE 接口实现](#)
9. [基于 PCI 总线的 GPS 授时卡设计](#)
10. [基于 CPCI 标准的 6U 信号处理平台的设计](#)
11. [USB3.0 电路保护](#)
12. [USB3.0 协议分析与框架设计](#)
13. [USB 3.0 中的 CRC 校验原理及实现](#)
14. [基于 CPLD 的 UART 设计](#)
15. [IPMI 在 VPX 系统中的应用与设计](#)
16. [基于 CPCI 总线的 PMC 载板设计](#)
17. [基于 VPX 总线的工件台运动控制系统研究与开发](#)
18. [PCI Express 流控机制的研究与实现](#)
19. [UART16C554 的设计](#)
20. [基于 VPX 的高性能计算机设计](#)
21. [基于 CAN 总线技术的嵌入式网关设计](#)
22. [Visual C 串行通讯控件使用方法与技巧的研究](#)
23. [IEEE1588 精密时钟同步关键技术研究](#)
24. [GPS 信号发生器射频模块的一种实现方案](#)
25. [基于 CPCI 接口的视频采集卡的设计](#)
26. [基于 VPX 的 3U 信号处理平台的设计](#)
27. [基于 PCI Express 总线 1394b 网络传输系统 WDM 驱动设计](#)
28. [AT89C52 单片机与 ARINC429 航空总线接口设计](#)
29. [基于 CPCI 总线多 DSP 系统的高速主机接口设计](#)
30. [总线协议中的 CRC 及其在 SATA 通信技术中的应用](#)
31. [基于 FPGA 的 SATA 硬盘加解密控制器设计](#)
32. [Modbus 协议在串口通讯中的研究及应用](#)
33. [高可用的磁盘阵列 Cache 的设计和实现](#)
34. [RAID 阵列中高速 Cache 管理的优化](#)

邀请注册码



关注论坛公众号

- 35. [一种新的基于 RAID 的 CACHE 技术研究与实现](#)
- 36. [基于 PCIE-104 总线的高速数据接口设计](#)
- 37. [基于 VPX 标准的 RapidIO 交换和 Flash 存储模块设计](#)
- 38. [北斗卫星系统在海洋工程中的应用](#)
- 39. [北斗卫星系统在远洋船舶上应用的研究](#)
- 40. [基于 CPCI 总线的红外实时信号处理系统](#)
- 41. [硬件实现 RAID 与软件实现 RAID 的比较](#)
- 42. [基于 PCI Express 总线系统的热插拔设计](#)
- 43. [基于 RAID5 的磁盘阵列 Cache 的研究与实现](#)
- 44. [基于 PCI 总线的 MPEG2 码流播放卡驱动程序开发](#)
- 45. [基于磁盘异或引擎的 RAID5 小写性能优化](#)
- 46. [基于 IEEE1588 的时钟同步技术研究](#)
- 47. [基于 Davinci 平台的 SD 卡读写优化](#)
- 48. [基于 PCI 总线的图像处理及传输系统的设计](#)
- 49. [串口和以太网通信技术在油液在线监测系统中的应用](#)
- 50. [USB3.0 数据传输协议分析及实现](#)
- 51. [IEEE 1588 协议在工业以太网中的实现](#)
- 52. [基于 USB3.0 的设备自定义请求实现方法](#)
- 53. [IEEE1588 协议在网络测控系统中的应用](#)
- 54. [USB3.0 物理层中弹性缓冲的设计与实现](#)
- 55. [USB3.0 的高速信息传输瓶颈研究](#)
- 56. [基于 IPv6 的 UDP 通信的实现](#)
- 57. [一种基于 IPv6 的流媒体传送方案研究与实现](#)
- 58. [基于 IPv4-IPv6 双栈的 MODBUS-TCP 协议实现](#)
- 59. [RS485CAN 网关设计与实现](#)
- 60. [MVB 周期信息的实时调度](#)
- 61. [RS485 和 PROFINET 网关设计](#)
- 62. [基于 IPv6 的 Socket 通信的实现](#)
- 63. [MVB 网络重复器的设计](#)
- 64. [一种新型 MVB 通信板的探究](#)
- 65. [具有 MVB 接口的输入输出设备的分析](#)
- 66. [基于 STM32 的 GSM 模块综合应用](#)
- 67. [基于 ARM7 的 MVB CAN 网关设计](#)
- 68. [机车车辆的 MVB CAN 总线网关设计](#)
- 69. [智能变电站冗余网络中 IEEE1588 协议的应用](#)
- 70. [CAN 总线的浅析 CANopen 协议](#)
- 71. [基于 CANopen 协议实现多电机系统实时控制](#)
- 72. [以太网时钟同步协议的研究](#)
- 73. [基于 CANopen 的列车通信网络实现研究](#)
- 74. [基于 SJA1000 的 CAN 总线智能控制系统设计](#)
- 75. [基于 CANopen 的运动控制单元的设计](#)
- 76. [基于 STM32F107VC 的 IEEE 1588 精密时钟同步分析与实现](#)

邀请注册码



关注论坛公众号

77. [分布式控制系统精确时钟同步技术](#)
78. [基于 IEEE 1588 的时钟同步技术在分布式系统中应用](#)
79. [基于 SJA1000 的 CAN 总线通讯模块的实现](#)
80. [嵌入式设备的精确时钟同步技术的研究与实现](#)
81. [基于 SJA1000 的 CAN 网桥设计](#)
82. [基于 CAN 总线分布式温室监控系统的设计与实现](#)
83. [基于 DSP 的 CANopen 通讯协议的实现](#)
84. [基于 PCI9656 控制芯片的高速网卡 DMA 设计](#)
85. [基于以太网及串口的数据采集模块设计](#)
86. [MVB1 类设备控制器的 FPGA 设计](#)
87. [MVB 接口彩色液晶显示诊断单元的显示应用软件设计](#)
88. [IPv6 新型套接字的网络编程剖析](#)
89. [基于规则的 IPv4 源程序到 IPv6 源程序的移植方法](#)
90. [MVB 网络接口单元的 SOC 解决方案](#)
91. [基于 IPSec 协议的 IPv6 安全研究](#)
92. [具有 VME 总线的车载安全计算机 MVB 通信板卡](#)
93. [SD 卡的传输协议和读写程序](#)
94. [基于 SCTP 的 TLS 应用](#)
95. [基于 IPv6 的静态路由实验设计](#)
96. [基于 MVB 的地铁列车司机显示系统研究](#)
97. [基于参数优化批处理的 TLS 协议](#)
98. [SSD 数据结构与算法综述](#)
99. [大容量 NAND Flash 文件系统中的地址映射算法研究](#)

邀请注册码



关注论坛公众号

VxWorks:

1. [基于 VxWorks 的多任务程序设计](#)
2. [基于 VxWorks 的数据采集存储装置设计](#)
3. [Flash 文件系统分析及其在 VxWorks 中的实现](#)
4. [VxWorks 多任务编程中的异常研究](#)
5. [VxWorks 应用技巧两例](#)
6. [一种基于 VxWorks 的飞行仿真实时管理系统](#)
7. [在 VxWorks 系统中使用 TrueType 字库](#)
8. [基于 FreeType 的 VxWorks 中文显示方案](#)
9. [基于 Tilcon 的 VxWorks 简单动画开发](#)
10. [基于 Tilcon 的某武器显控系统界面设计](#)
11. [基于 Tilcon 的综合导航信息处理装置界面设计](#)
12. [VxWorks 的内存配置和管理](#)

13. [基于 VxWorks 系统的 PCI 配置与应用](#)
14. [基于 MPC8270 的 VxWorks BSP 的移植](#)
15. [Bootrom 功能改进经验谈](#)
16. [基于 VxWorks 嵌入式系统的中文平台研究与实现](#)
17. [VxBus 的 A429 接口驱动](#)
18. [基于 VxBus 和 MPC8569E 千兆网驱动开发和实现](#)
19. [一种基于 vxBus 的 PPC 与 FPGA 高速互联的驱动设计方法](#)
20. [基于 VxBus 的设备驱动开发](#)
21. [基于 VxBus 的驱动程序架构分析](#)
22. [基于 VxBus 的高速数据采集卡驱动程序开发](#)
23. [Vxworks 下的冗余 CAN 通讯模块设计](#)
24. [WindML 工业平台下开发 S1d13506 驱动及显示功能的实现](#)
25. [WindML 中 Mesa 的应用](#)
26. [VxWorks 下图形用户界面开发中双缓冲技术应用](#)
27. [VxWorks 上的一种 GUI 系统的设计与实现](#)
28. [VxWorks 环境下 socket 的实现](#)
29. [VxWorks 的 WindML 图形界面程序的框架分析](#)
30. [VxWorks 实时操作系统及其在 PC104 下以太网编程的应用](#)
31. [实时操作系统任务调度策略的研究与设计](#)
32. [军事指挥系统中 VxWorks 下汉字显示技术](#)
33. [基于 VxWorks 实时控制系统中文交互界面开发平台](#)
34. [基于 VxWorks 操作系统的 WindML 图形操控界面实现方法](#)
35. [基于 GPU FPGA 芯片原型的 VxWorks 下驱动软件开发](#)
36. [VxWorks 下的多串口卡设计](#)
37. [VxWorks 内存管理机制的研究](#)
38. [T9 输入法在 Tilcon 下的实现](#)
39. [基于 VxWorks 的 WindML 图形界面开发方法](#)
40. [基于 Tilcon 的 IO 控制板可视化测试软件的设计和实现](#)
41. [基于 VxWorks 的通信服务器实时多任务软件设计](#)
42. [基于 VXWORKS 的 RS485MVB 网关的设计与实现](#)
43. [实时操作系统 VxWorks 在微机保护中的应用](#)
44. [基于 VxWorks 的多任务程序设计及通信管理](#)
45. [基于 Tilcon 的 VxWorks 图形界面开发技术](#)
46. [嵌入式图形系统 Tilcon 及应用研究](#)
47. [基于 VxWorks 的数据采集与重演软件的图形界面的设计与实现](#)
48. [基于嵌入式的 Tilcon 用户图形界面设计与开发](#)
49. [基于 Tilcon 的交互式多页面的设计](#)
50. [基于 Tilcon 的嵌入式系统人机界面开发技术](#)
51. [基于 Tilcon 的指控系统多任务人机交互软件设计](#)
52. [基于 Tilcon 航海标绘台界面设计](#)
53. [基于 Tornado 和 Tilcon 的嵌入式 GIS 图形编辑软件的开发](#)
54. [VxWorks 环境下内存文件系统的应用](#)

邀请注册码



关注论坛公众号

55. [VxWorks 下的多重定时器设计](#)
56. [Freescale 的 MPC8641D 的 VxWorks BSP](#)
57. [VxWorks 实验五\[时间片轮转调度\]](#)
58. [解决 VmWare 下下载大型工程.out 出现 WTX Error 0x100de 的问题](#)
59. [基于 VxWorks 系统的 MiniGUI 图形界面开发](#)
60. [VxWorks BSP 开发中的 PCI 配置方法](#)
61. [VxWorks 在 S3C2410 上的 BSP 设计](#)
62. [VxWorks 操作系统中 PCI 总线驱动程序的设计与实现](#)
63. [VxWorks 概述](#)
64. [基于 AT91RM9200 的 VxWorks END 网络驱动开发](#)
65. [基于 EBD9200 的 VxWorks BSP 设计和实现](#)
66. [基于 VxWorks 的 BSP 技术分析](#)
67. [ARM LPC2210 的 VxWorks BSP 源码](#)
68. [基于 LPC2210 的 VxWorks BSP 移植](#)
69. [基于 VxWorks 平台的 SCTP 协议软件设计实现](#)
70. [VxWorks 快速启动的实现方法\[上电到应用程序 1 秒\]](#)

邀请注册码



关注论坛公众号

Linux:

1. [Linux 程序设计第三版及源代码](#)
2. [NAND FLASH 文件系统的设计与实现](#)
3. [多通道串行通信设备的 Linux 驱动程序实现](#)
4. [Zsh 开发指南-数组](#)
5. [常用 GDB 命令中文速览](#)
6. [嵌入式 C 进阶之道](#)
7. [Linux 串口编程实例](#)
8. [基于 Yocto Project 的嵌入式应用设计](#)
9. [Android 应用的反编译](#)
10. [基于 Android 行为的加密应用系统研究](#)
11. [嵌入式 Linux 系统移植步步通](#)
12. [嵌入式 CC++语言精华文章集锦](#)
13. [基于 Linux 的高性能服务器端的设计与研究](#)
14. [S3C6410 移植 Android 内核](#)
15. [Android 开发指南中文版](#)
16. [图解 Linux 操作系统架构设计与实现原理（第二版）](#)
17. [如何在 Ubuntu 和 Linux Mint 下轻松升级 Linux 内核](#)
18. [Android 简单 mp3 播放器源码](#)
19. [嵌入式 Linux 系统实时性的研究](#)
20. [Android 嵌入式系统架构及内核浅析](#)

- 21. [基于嵌入式 Linux 操作系统内核实时性的改进方法研究](#)
- 22. [Linux TCP IP 协议详解](#)
- 23. [Linux 桌面环境下内存去重技术的研究与实现](#)
- 24. [掌握 Android 7.0 新增特性 Quick Settings](#)
- 25. [Android 应用逆向分析方法研究](#)
- 26. [Android 操作系统的课程教学](#)
- 27. [Android 智能手机操作系统的研究](#)
- 28. [Android 英文朗读功能的实现](#)
- 29. [基于 Yocto 订制嵌入式 Linux 发行版](#)
- 30. [基于嵌入式 Linux 的网络设备驱动设计与实现](#)
- 31. [如何高效学习嵌入式](#)
- 32. [基于 Android 平台的 GPS 定位系统的设计与实现](#)
- 33. [LINUX ARM 下的 USB 驱动开发](#)
- 34. [Linux 下基于 I2C 协议的 RTC 驱动开发](#)
- 35. [嵌入式下 Linux 系统设备驱动程序的开发](#)
- 36. [基于嵌入式 Linux 的 SD 卡驱动程序的设计与实现](#)
- 37. [Linux 系统中进程调度策略](#)
- 38. [嵌入式 Linux 实时性方法](#)
- 39. [基于实时 Linux 计算机联锁系统实时性分析与改进](#)
- 40. [基于嵌入式 Linux 下的 USB30 驱动程序开发方法研究](#)
- 41. [Android 手机应用开发之音乐资源播放器](#)
- 42. [Linux 下以太网的 IPv6 隧道技术的实现](#)
- 43. [Research and design of mobile learning platform based on Android](#)
- 44. [基于 linux 和 Qt 的串口通信调试器调的设计及应用](#)
- 45. [在 Linux 平台上基于 QT 的动态图像采集系统的设计](#)
- 46. [基于 Android 平台的医护查房系统的研究与设计](#)
- 47. [基于 Android 平台的软件自动化监控工具的设计开发](#)
- 48. [基于 Android 的视频软硬解码及渲染的对比研究与实现](#)
- 49. [基于 Android 移动设备的加速度传感器技术研究](#)
- 50. [基于 Android 系统振动测试仪研究](#)
- 51. [基于缓存竞争优化的 Linux 进程调度策略](#)
- 52. [Linux 基于 W83697 和 W83977 的 UART 串口驱动开发文档](#)
- 53. [基于 AT91RM9200 的嵌入式 Linux 系统的移植与实现](#)
- 54. [路由信息协议在 Linux 平台上的实现](#)
- 55. [Linux 下 IPv6 高级路由器的实现](#)

邀请注册码



关注论坛公众号

Windows CE:

1. [Windows CE.NET 下 YAFFS 文件系统 NAND Flash 驱动程序设计](#)
2. [Windows CE 的 CAN 总线驱动程序设计](#)
3. [基于 Windows CE.NET 的 ADC 驱动程序实现与应用的研究](#)
4. [基于 Windows CE.NET 平台的串行通信实现](#)
5. [基于 Windows CE.NET 下的 GPRS 模块的研究与开发](#)
6. [win2k 下 NTFS 分区用 ntldr 加载进 dos 源代码](#)
7. [Windows 下的 USB 设备驱动程序开发](#)
8. [WinCE 的大容量程控数据传输解决方案设计](#)
9. [WinCE6.0 安装开发详解](#)
10. [DOS 下仿 Windows 的自带计算器程序 C 源码](#)
11. [G726 局域网语音通话程序和源代码](#)
12. [WinCE 主板加载第三方驱动程序的方法](#)
13. [WinCE 下的注册表编辑程序和源代码](#)
14. [WinCE 串口通信源代码](#)
15. [WINCE 的 SD 卡程序 \[可实现读写的源码\]](#)
16. [基于 WinCE 的 BootLoader 研究](#)
17. [Windows CE 环境下无线网卡的自动安装](#)
18. [基于 Windows CE 的可视电话的研究与实现](#)
19. [基于 WinCE 的嵌入式图像采集系统设计](#)
20. [基于 ARM 与 WinCE 的掌纹鉴别系统](#)
21. [DCOM 协议在网络冗余环境下的应用](#)
22. [Windows XP Embedded 在变电站通信管理机中的应用](#)
23. [XPE 在多功能显控台上的开发与应用](#)
24. [基于 Windows XP Embedded 的 LKJ2000 仿真系统设计与实现](#)
25. [虚拟仪器的 Windows XP Embedded 操作系统开发](#)
26. [基于 EVC 的嵌入式导航电子地图设计](#)
27. [基于 XPEmbedded 的警务区 SMS 指挥平台的设计与实现](#)
28. [基于 XPE 的数字残币兑换工具开发](#)
29. [Windows CENET 下 ADC 驱动开发设计](#)
30. [Windows CE 下 USB 设备流驱动开发与设计](#)
31. [Windows 驱动程序设计](#)
32. [基于 Windows CE 的 GPS 应用](#)
33. [基于 Windows CE 下大像素图像分块显示算法的研究](#)
34. [基于 Windows CE 的数控软件开发与实现](#)
35. [NAND FLASH 在 WINCENET 系统中的应用设计](#)

邀请注册码



关注论坛公众号

PowerPC:

WeChat ID: kontronn

1. [Freescale MPC8536 开发板原理图](#)
2. [基于 MPC8548E 的固件设计](#)
3. [基于 MPC8548E 的嵌入式数据处理系统设计](#)
4. [基于 PowerPC 嵌入式网络通信平台的实现](#)
5. [PowerPC 在车辆显控系统中的应用](#)
6. [基于 PowerPC 的单板计算机的设计](#)
7. [用 PowerPC860 实现 FPGA 配置](#)
8. [基于 MPC8247 嵌入式电力交换系统的设计与实现](#)
9. [基于设备树的 MPC8247 嵌入式 Linux 系统开发](#)
10. [基于 MPC8313E 嵌入式系统 UBoot 的移植](#)
11. [基于 PowerPC 处理器 SMP 系统的 UBoot 移植](#)
12. [基于 PowerPC 双核处理器嵌入式系统 UBoot 移植](#)
13. [基于 PowerPC 的雷达通用处理机设计](#)
14. [PowerPC 平台引导加载程序的移植](#)
15. [基于 PowerPC 嵌入式内核的多串口通信扩展设计](#)
16. [基于 PowerPC 的多网口系统抗干扰设计](#)
17. [基于 MPC860T 与 VxWorks 的图形界面设计](#)
18. [基于 MPC8260 处理器的 PPMC 系统](#)
19. [基于 PowerPC 的控制器研究与设计](#)
20. [基于 PowerPC 的模拟量输入接口扩展](#)
21. [基于 PowerPC 的车载通信系统设计](#)
22. [基于 PowerPC 的嵌入式系统中通用 IO 口的扩展方法](#)
23. [基于 PowerPC440GP 型微控制器的嵌入式系统设计与研究](#)
24. [基于双 PowerPC 7447A 处理器的嵌入式系统硬件设计](#)
25. [基于 PowerPC603e 通用处理模块的设计与实现](#)
26. [嵌入式微机 MPC555 驻留片内监控器的开发与实现](#)
27. [基于 PowerPC 和 DSP 的电能质量在线监测装置的研制](#)
28. [基于 PowerPC 架构多核处理器嵌入式系统硬件设计](#)
29. [基于 PowerPC 的多屏系统设计](#)
30. [基于 PowerPC 的嵌入式 SMP 系统设计](#)
31. [基于 MPC850 的多功能通信管理器](#)
32. [基于 MPC8640D 处理系统的技术研究](#)
33. [基于双核 MPC8641D 处理器的计算机模块设计](#)
34. [基于 MPC8641D 处理器的对称多处理技术研究](#)

邀请注册码



关注论坛公众号

ARM:

1. [基于 DiskOnChip 2000 的驱动程序设计及应用](#)

WeChat ID: kontronn

2. [基于 ARM 体系的 PC-104 总线设计](#)
3. [基于 ARM 的嵌入式系统中断处理机制研究](#)
4. [设计 ARM 的中断处理](#)
5. [基于 ARM 的数据采集系统并行总线的驱动设计](#)
6. [S3C2410 下的 TFT LCD 驱动源码](#)
7. [STM32 SD 卡移植 FATFS 文件系统源码](#)
8. [STM32 ADC 多通道源码](#)
9. [ARM Linux 在 EP7312 上的移植](#)
10. [ARM 经典 300 问](#)
11. [基于 S5PV210 的频谱监测设备嵌入式系统设计与实现](#)
12. [Uboot 中 start.S 源码的指令级的详尽解析](#)
13. [基于 ARM9 的嵌入式 Zigbee 网关设计与实现](#)
14. [基于 S3C6410 处理器的嵌入式 Linux 系统移植](#)
15. [CortexA8 平台的 μC-OS II 及 LwIP 协议栈的移植与实现](#)
16. [基于 ARM 的嵌入式 Linux 无线网卡设备驱动设计](#)
17. [ARM S3C2440 Linux ADC 驱动](#)
18. [ARM S3C2440 Linux 触摸屏驱动](#)
19. [Linux 和 Cortex-A8 的视频处理及数字微波传输系统设计](#)
20. [Nand Flash 启动模式下的 Uboot 移植](#)
21. [基于 ARM 处理器的 UART 设计](#)
22. [ARM CortexM3 处理器故障的分析与处理](#)
23. [ARM 微处理器启动和调试浅析](#)
24. [基于 ARM 系统下映像文件的执行与中断运行机制的实现](#)
25. [中断调用方式的 ARM 二次开发接口设计](#)
26. [ARM11 嵌入式系统 Linux 下 LCD 的驱动设计](#)
27. [Uboot 在 S3C2440 上的移植](#)
28. [基于 ARM11 的嵌入式无线视频终端的设计](#)
29. [基于 S3C6410 的 Uboot 分析与移植](#)
30. [基于 ARM 嵌入式系统的高保真无损音乐播放器设计](#)
31. [UBoot 在 Mini6410 上的移植](#)
32. [基于 ARM11 的嵌入式 Linux NAND FLASH 模拟 U 盘挂载分析与实现](#)
33. [基于 ARM11 的电源完整性分析](#)
34. [基于 ARM S3C6410 的 uboot 分析与移植](#)
35. [基于 S5PC100 移动视频监控终端的设计与实现](#)
36. [UBoot 在 AT91RM9200 上的移植简析](#)
37. [基于工控级 AT91RM9200 开发板的 UBoot 移植分析](#)

邀请注册码



关注论坛公众号

Hardware:

1. [DSP 电源的典型设计](#)
2. [高频脉冲电源设计](#)
3. [电源的综合保护设计](#)
4. [任意波形电源的设计](#)
5. [高速 PCB 信号完整性分析及应用](#)
6. [DM642 高速图像采集系统的电磁干扰设计](#)
7. [使用 COMExpress Nano 工控板实现 IP 调度设备](#)
8. [基于 COM Express 架构的数据记录仪的设计与实现](#)
9. [基于 COM Express 的信号系统逻辑运算单元设计](#)
10. [基于 COM Express 的回波预处理模块设计](#)
11. [基于 X86 平台的简单多任务内核的分析与实现](#)
12. [基于 UEFI Shell 的 PreOS Application 的开发与研究](#)
13. [基于 UEFI 固件的恶意代码防范技术研究](#)
14. [MIPS 架构计算机平台的支持固件研究](#)
15. [基于 UEFI 固件的攻击验证技术研究](#)
16. [基于 UEFI 的 Application 和 Driver 的分析与开发](#)
17. [基于 UEFI 的可信 BIOS 研究与实现](#)
18. [基于 UEFI 的国产计算机平台 BIOS 研究](#)
19. [基于 UEFI 的安全模块设计分析](#)
20. [基于 FPGA Nios II 的等精度频率计设计](#)
21. [基于 FPGA 的 SOPC 设计](#)
22. [基于 SOPC 基本信号产生器的设计与实现](#)
23. [基于 龙芯 平台的 PMON 研究与开发](#)
24. [基于 X86 平台的嵌入式 BIOS 可配置设计](#)
25. [基于 龙芯 2F 架构的 PMON 分析与优化](#)
26. [CPU 与 GPU 之间接口电路的设计与实现](#)
27. [基于 龙芯 1A 平台的 PMON 源码编译和启动分析](#)
28. [基于 PC104 工控机的嵌入式直流监控装置的设计](#)
29. [GPGPU 技术研究与发展](#)
30. [GPU 实现的高速 FIR 数字滤波算法](#)
31. [一种基于 CPUGPU 异构计算的混合编程模型](#)
32. [面向 OpenCL 模型的 GPU 性能优化](#)
33. [基于 GPU 的 FDTD 算法](#)
34. [基于 GPU 的瑕疵检测](#)
35. [基于 GPU 通用计算的分析与研究](#)
36. [面向 OpenCL 架构的 GPGPU 量化性能模型](#)
37. [基于 OpenCL 的图像积分图算法优化研究](#)
38. [基于 OpenCL 的均值平移算法在多个众核平台的性能优化研究](#)
39. [基于 OpenCL 的异构系统并行编程](#)
40. [嵌入式系统中热备份双机切换技术研究](#)
41. [EFI-Tiano 环境下的 AES 算法应用模型](#)
42. [EFI 及其安全性研究](#)

邀请注册码



关注论坛公众号

43. [基于 UEFI Shell 的 PreOS Application 的开发与研究](#)
44. [UEFI Bootkit 模型与分析](#)

Programming:

1. [计算机软件基础数据结构 - 算法](#)
2. [高级数据结构对算法的优化](#)
3. [零基础学算法](#)
4. [Linux 环境下基于 TCP 的 Socket 编程浅析](#)
5. [Linux 环境下基于 UDP 的 socket 编程浅析](#)
6. [基于 Socket 的网络编程技术及其实现](#)
7. [数据结构考题 - 第 1 章 绪论](#)
8. [数据结构考题 - 第 2 章 线性表](#)
9. [数据结构考题 - 第 2 章 线性表 - 答案](#)
10. [基于小波变换与偏微分方程的图像分解及边缘检测](#)
11. [基于图像能量的布匹瑕疵检测方法](#)
12. [基于 OpenCL 的拉普拉斯图像增强算法优化研究](#)
13. [异构平台上基于 OpenCL 的 FFT 实现与优化](#)
14. [数据结构考题 - 第 4 章 串](#)
15. [数据结构考题 - 第 4 章 串答案](#)
16. [用 IPv6 编程接口实现有连接通信的方法](#)

邀请注册码



关注论坛公众号

FPGA / CPLD:

1. [一种基于并行处理器的快速车道线检测系统及 FPGA 实现](#)
2. [基于 FPGA 和 DSP 的 DBF 实现](#)
3. [高速浮点运算单元的 FPGA 实现](#)
4. [DLMS 算法的脉动阵结构设计及 FPGA 实现](#)
5. [一种基于 FPGA 的 3DES 加密算法实现](#)
6. [可编程 FIR 滤波器的 FPGA 实现](#)
7. [基于 FPGA 的 AES 加密算法的高速实现](#)
8. [基于 FPGA 的精确时钟同步方法](#)
9. [应用分布式算法在 FPGA 平台实现 FIR 低通滤波器](#)
10. [流水线技术在用 FPGA 实现高速 DSP 运算中的应用](#)
11. [基于 FPGA 的 CAN 总线通信节点设计](#)
12. [基于 FPGA 的高速时钟数据恢复电路的实现](#)

- 13. [基于 FPGA 的高阶高速 FIR 滤波器设计与实现](#)
- 14. [基于 FPGA 高效实现 FIR 滤波器的研究](#)
- 15. [FPGA 的 VHDL 设计策略](#)
- 16. [用 FPGA 实现串口通信的设计](#)
- 17. [GPIB 接口的 FPGA 实现](#)

邀请注册码



关注论坛公众号